

図1 (426) Hippo 2021年12月27日 13h55m06s UT DAMIT Model 3493 ($\lambda = 14$, $\beta = -57$)
 $P = 207^\circ$, $\beta_e = +7^\circ$, $\lambda_e = +85^\circ$, Scale Factor 1:106.0, $k = 0.995$, $B = 324.5^\circ$

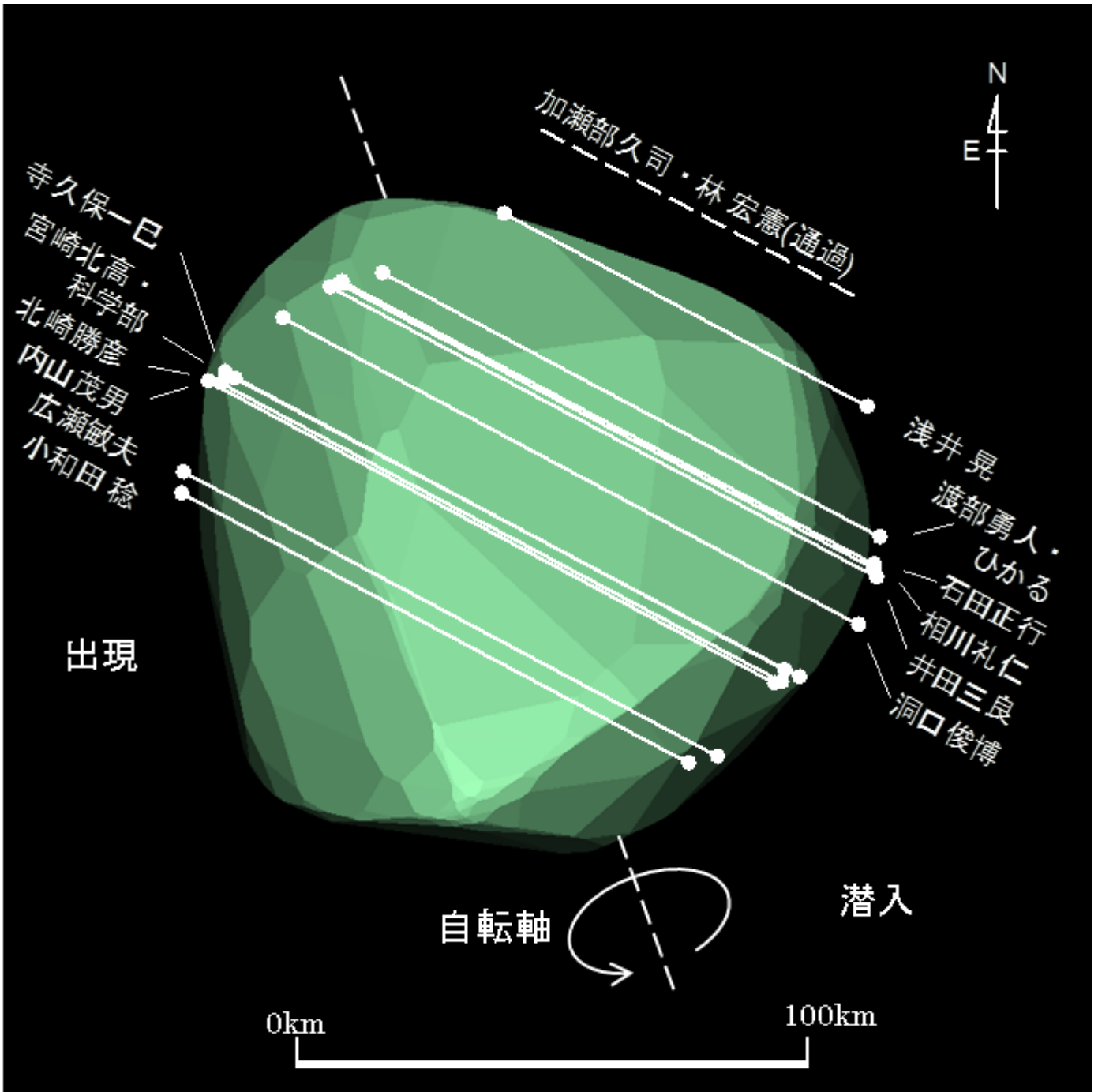


図2 (426) Hippo 2021年12月27日 13h55m06s UT DAMIT Model 3492 ($\lambda = 319$, $\beta = -66$)
 $P = 200^\circ$, $\beta_e = +33^\circ$, $\lambda_e = +121^\circ$, Scale Factor 1: 101.2, $k = 0.995$, $B = 324.5^\circ$

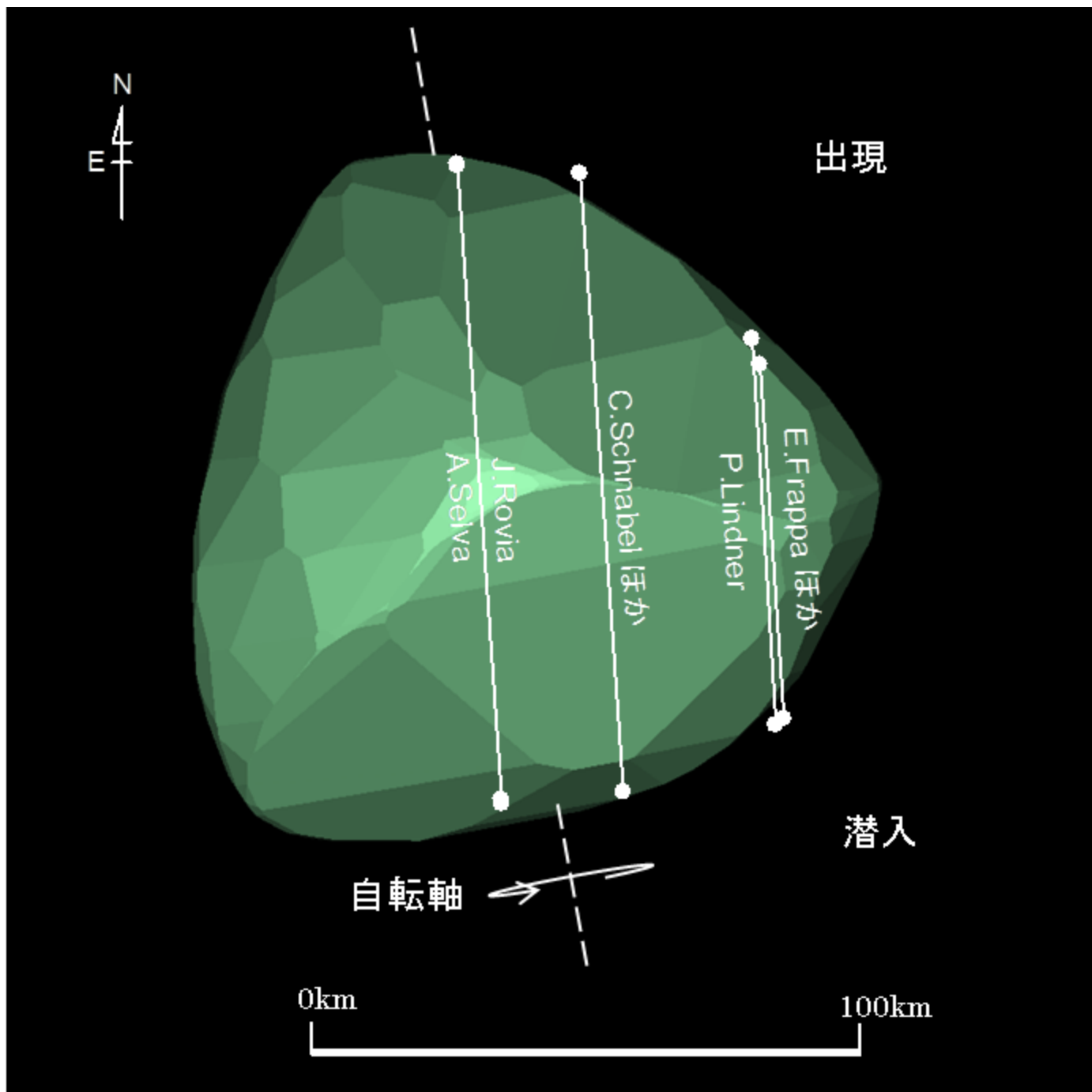


図3 (426) Hippo 2012年1月13日 22h58m53s UT DAMIT Model 3493 ($\lambda = 14$ 、 $\beta = -57$)
 $P = 190^\circ$ 、 $\beta_e = -2^\circ$ 、 $\lambda_e = -151^\circ$ 、Scale Factor 1: 96.6、 $k = 0.991$ 、 $B = 272.2^\circ$

図4 (398) Admete (2022年1月1日) の食 観測結果 (時刻はJ.S.T)

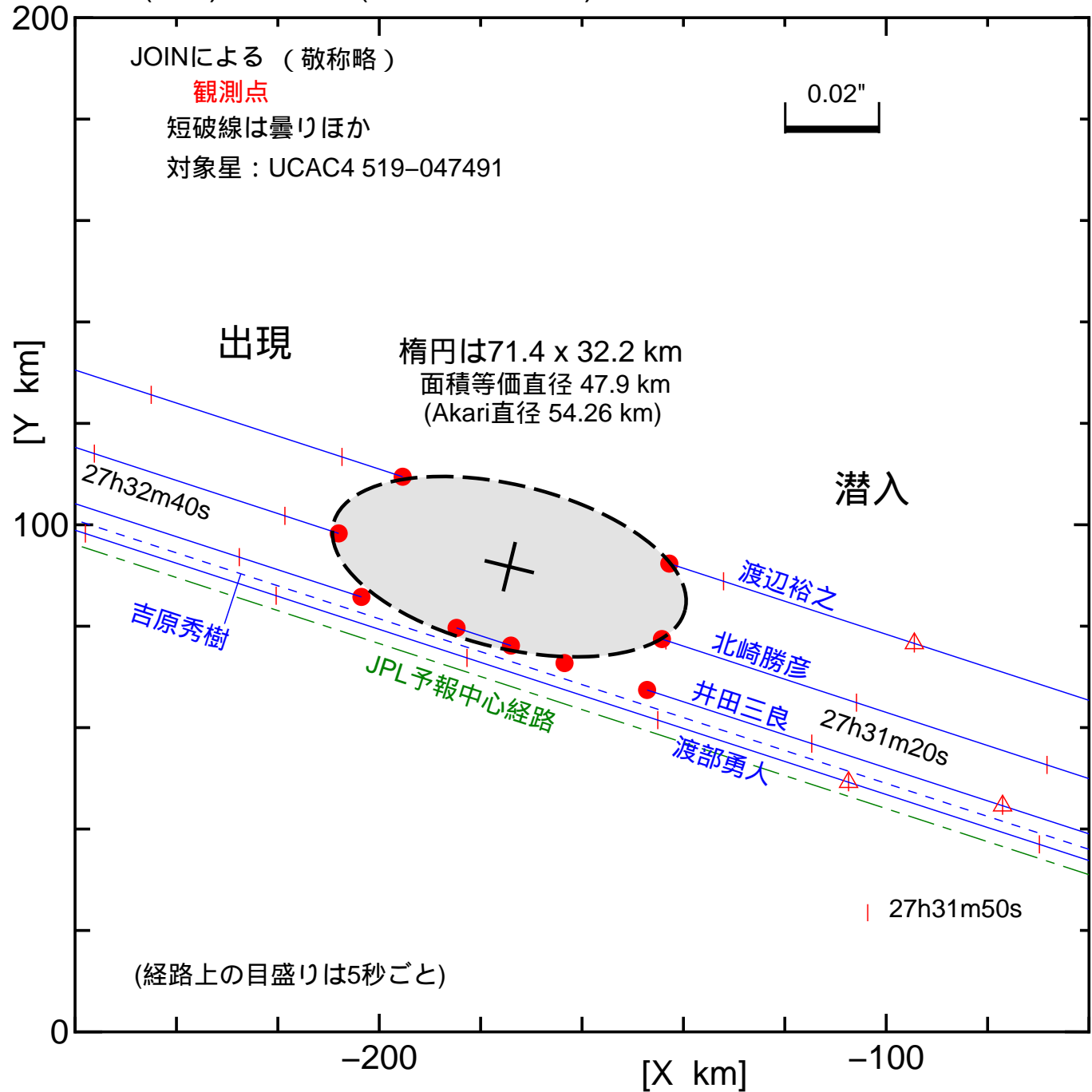
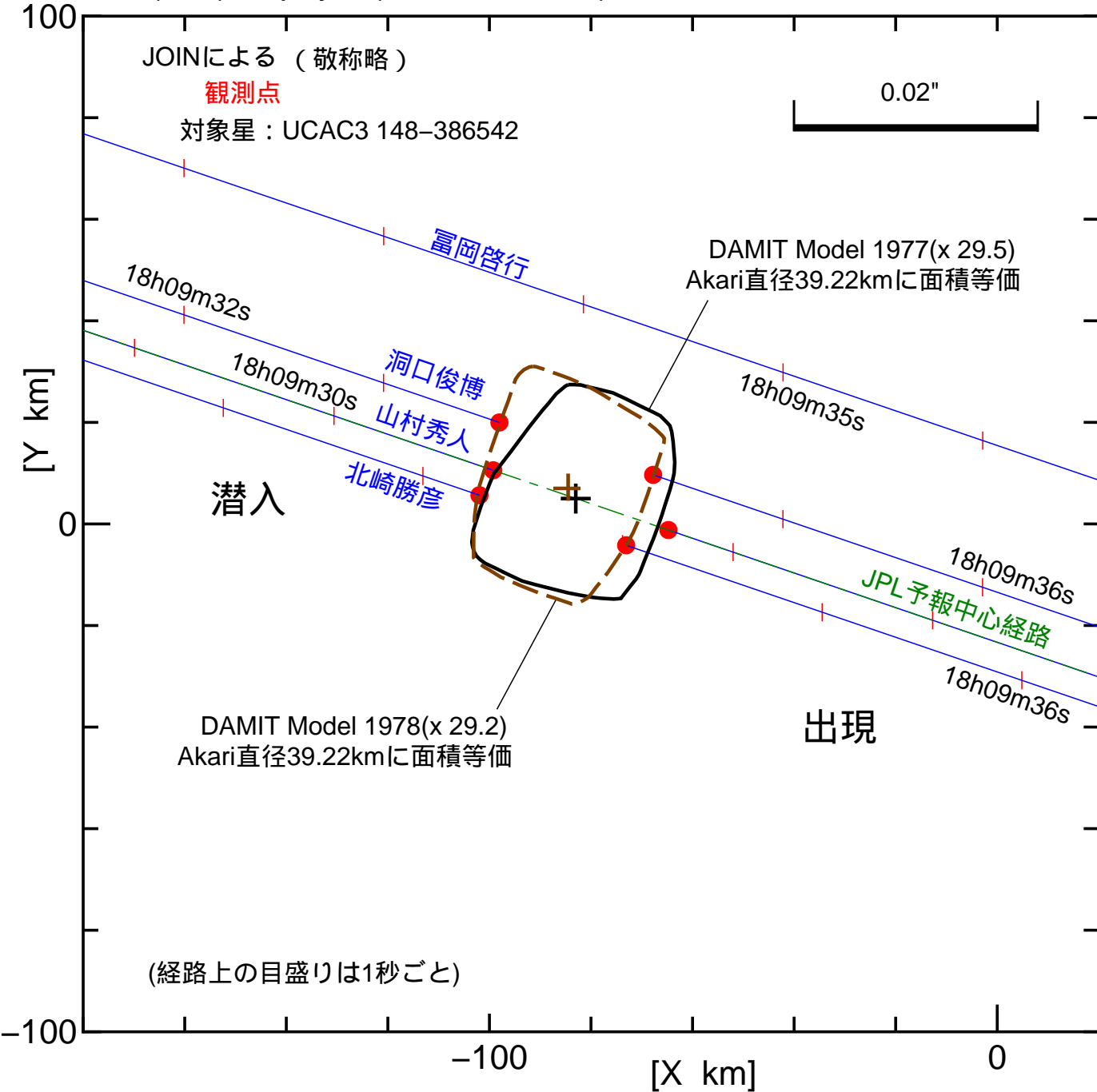


図5 (462) Eriphyla (2022年1月2日) の食 観測結果 (時刻はJ.S.T)



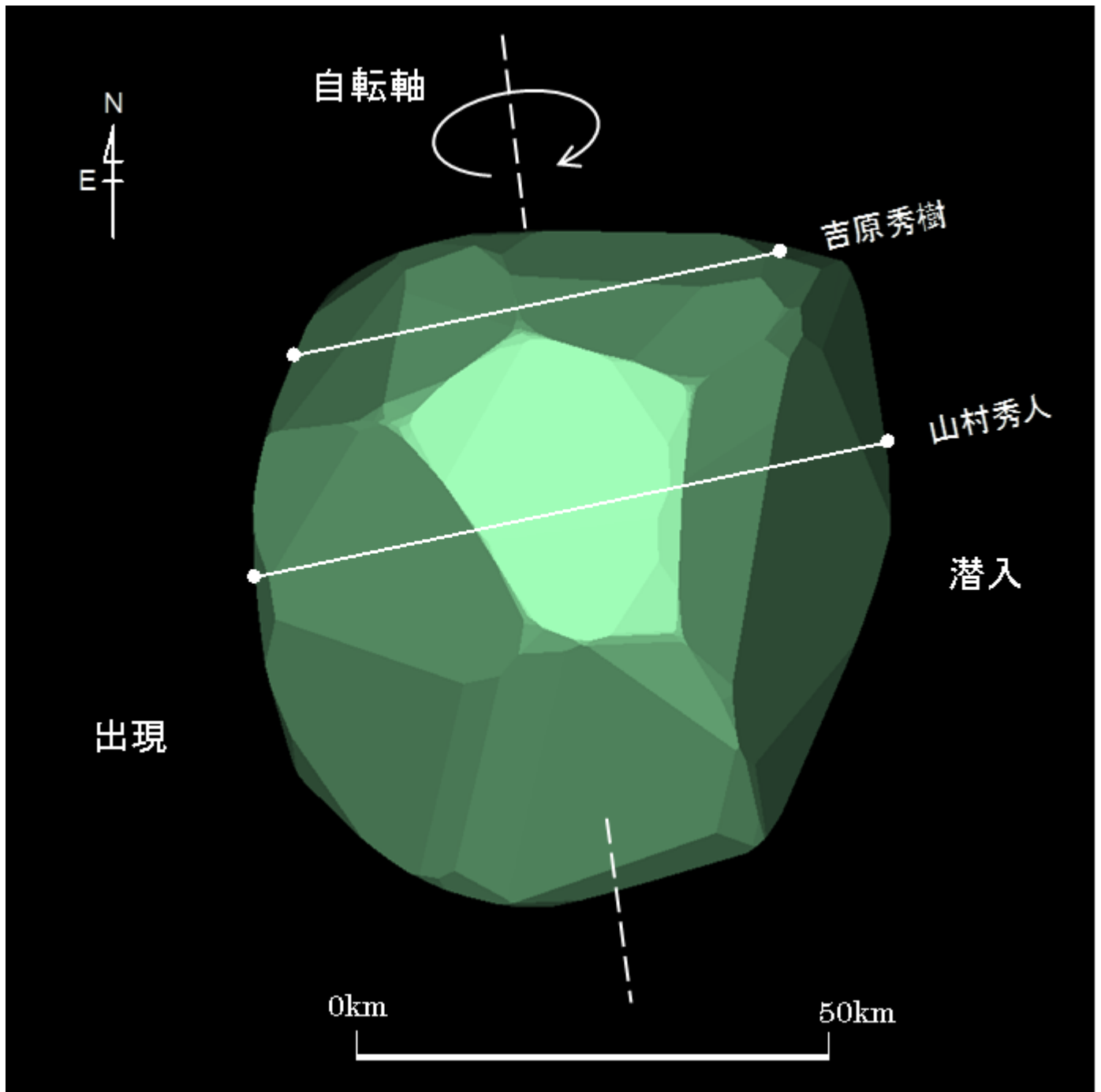
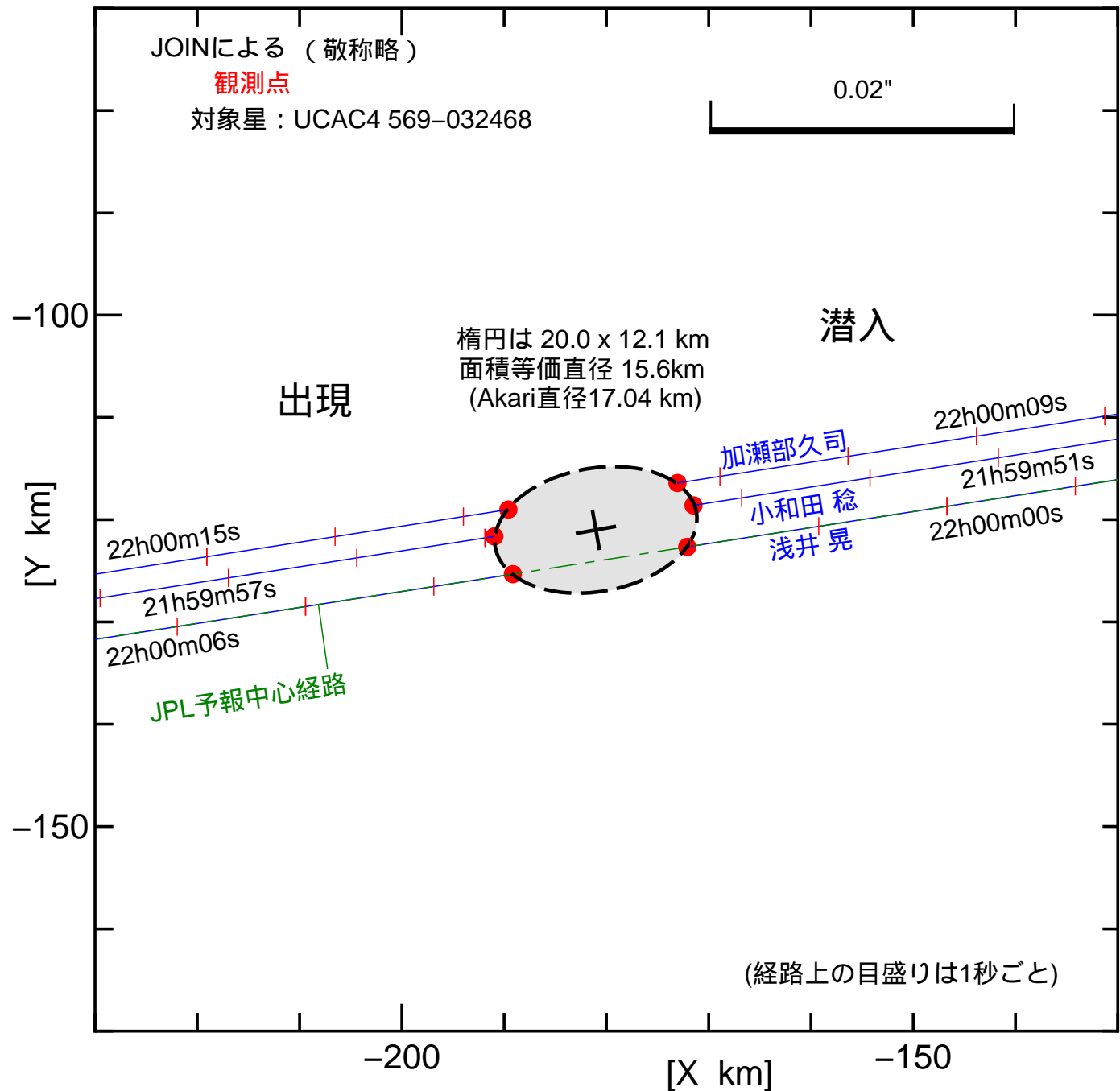


図6 (252) Clementina 2022年1月17日 14h04m30s UT DAMIT Model 1912 ($\lambda = 121$ 、 $\beta = +46$)
 $P = 8^\circ$ 、 $\beta_e = -30^\circ$ 、 $\lambda_e = +56^\circ$ 、Scale Factor 1: 56.2、 $k = 0.998$ 、 $B = 152.6^\circ$

図7 (2344) Xizang (2022年1月19日) の食 観測結果 (時刻はJ.S.T)



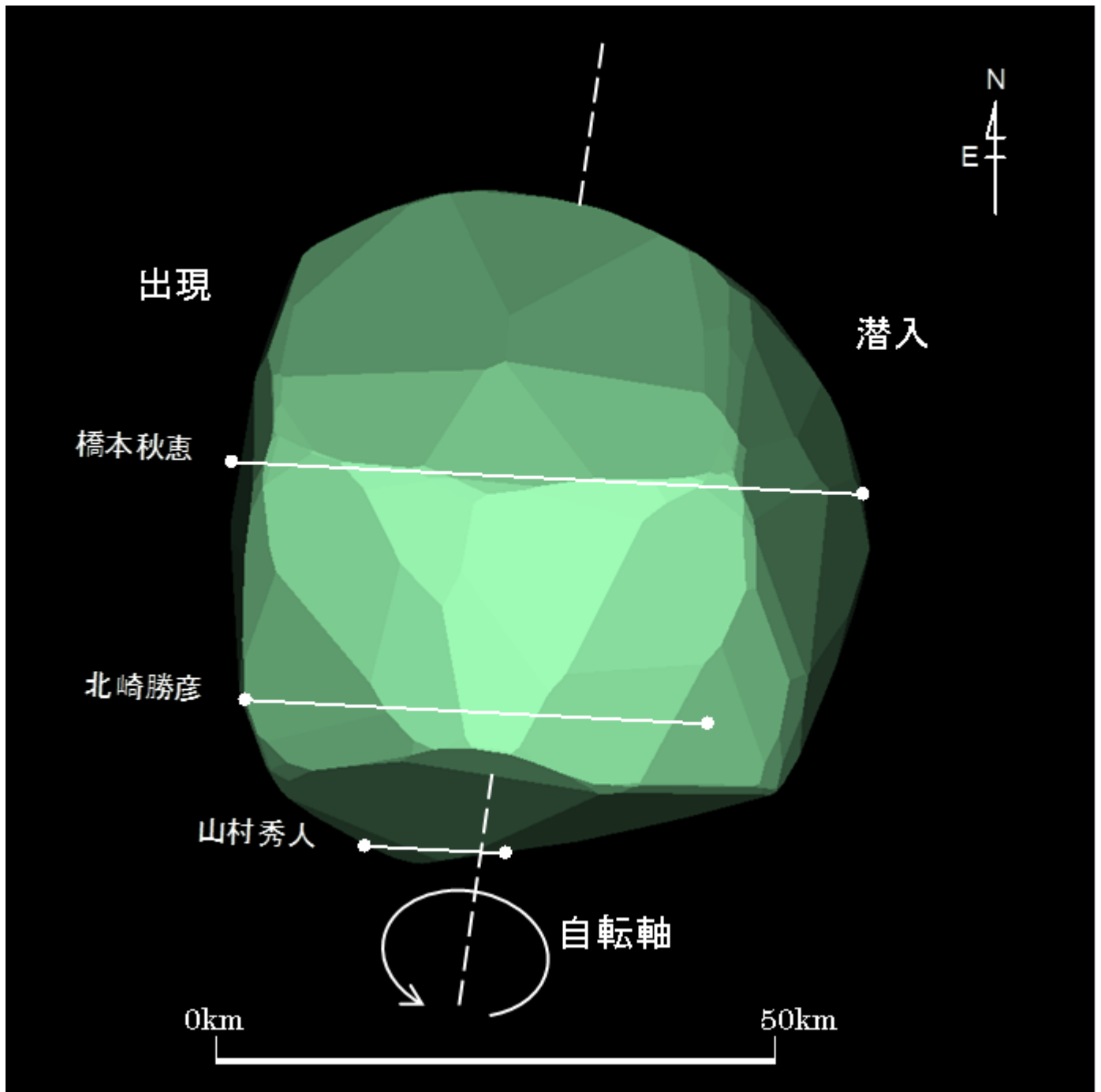


図8 (207) Hedda 2022年1月19日 15h01m18s UT DAMIT Model 4799 ($\lambda = 264$ 、 $\beta = -48$)※1
 $P = 172^\circ$ 、 $\beta_e = +47^\circ$ 、 $\lambda_e = +67^\circ$ 、Scale Factor 1: 46.3、 $k = 0.992$ 、 $B = 285.3^\circ$

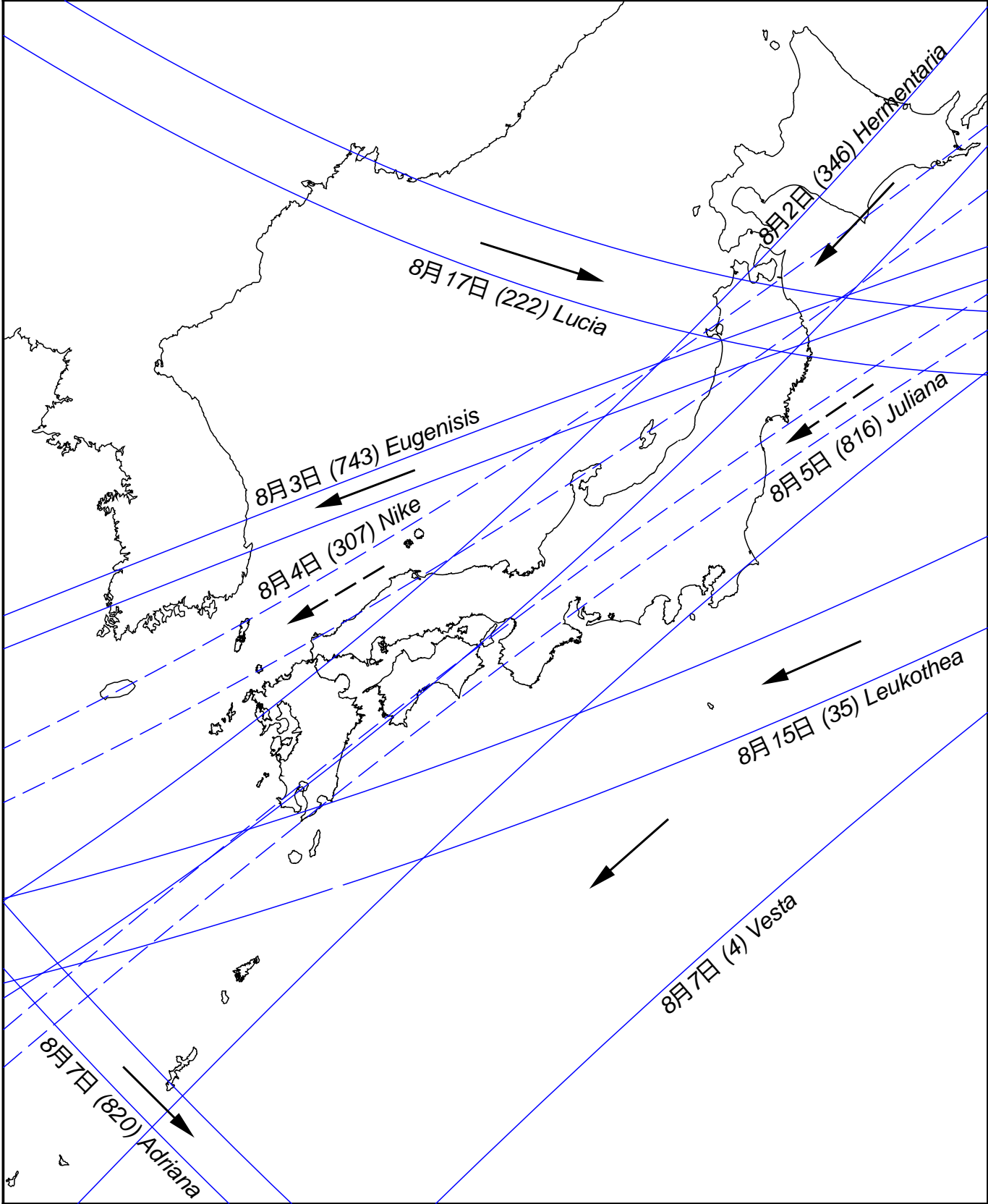


図9 小惑星による主な掩蔽帯経路 (S.Preston予報ほか) 2022年8月
 矢印は影の移動方向を示す

図10 2022年 8月 日本を通る主な星食限界線

(斜線をつけた側で星食が見られる)
青線：北限界 (斜線はこの線の下側)

Ⓐ 月が低い

